

光谱响应范围为 0.7—1.65 μm 的 一种近红外光阴极*

陶兆民

(中国科学院电子学研究所)

(一) 前言

众所周知,夜视仪器最基本的要求是看得远、看得清。夜视仪器中主要的部件除光学透镜外就是微光管。而光阴极则是微光管的“眼睛”。目前,二、三代微光管中的光阴极分别为 Sb-K-Na-Cs 与 GaAs, 它们的长波阈约为 0.9 μm 。夜天空辐射强度是满月与星空交替变化的。满月以可见光辐射为主,而星空则以近红外辐射为主。在星空辐射下,波长大于 1 μm 的辐射强度比可见光的辐射强度约大 1—2 个数量级^[1]。因此,Sb-K-Na-Cs 与 GaAs 两种光阴极用于微光管内接收夜天空辐射,对满月是可以的,但是对波长长于 0.9 μm 的星空辐射则完全不能接收。显然,Sb-K-Na-Cs 与 GaAs 两种光阴极用于夜视仪器内接收夜天空的辐射是不理想的。因此,有必要寻找一种光阴极,它既能接收满月的辐射,又能接收星空的辐射。

文献[2]给出 $\text{Ga}_{0.47}\text{In}_{0.53}\text{As}$ 光阴极的长波阈为 1.65 μm 。 $\text{InP}/\text{Ga}_{0.47}\text{In}_{0.53}\text{As}$ 光阴极如作为透射式使用,它的光谱响应范围为 0.9—1.65 μm 。这是因为 InP 对波长长于 0.9 μm 的入射光才能透过,而波长短于 0.9 μm 的入射光则不能透过。显然,光谱响应范围为 0.9—1.65 μm 的透射式 $\text{InP}/\text{Ga}_{0.47}\text{In}_{0.53}\text{As}$ 光阴极也不适合接收满月的辐射。

本文设计一种光阴极,它的光谱响应范围为 0.7—1.65 μm 。其目的是保存 $\text{Ga}_{0.47}\text{In}_{0.53}\text{As}$ 光阴极的长波阈为 1.65 μm ,但更换光阴极 ($\text{Ga}_{0.47}\text{In}_{0.53}\text{As}$) 的衬底材料,使其短波起始波长扩展到 0.7 μm ,以便既能接收满月辐射,也能接收星空辐射。

(二) 光谱响应范围为 0.7—1.65 μm 的透射式光阴极

$1, \text{GaP}/\text{Ga}_{(1-x)}\text{In}_x\text{P}/\text{Ga}_{0.47}\text{In}_{0.53}\text{As} (x: 0 \rightarrow 1)$ 光阴极的组成结构设计 在 GaP 衬底上以汽相外延生长 $\text{Ga}_{(1-x)}\text{In}_x\text{P}$ 缓变层,此处 x 从 0 开始,逐步增加到 1,以 “ $x: 0 \rightarrow 1$ ” 符号表示。当 $x = 0$ 时, $\text{Ga}_{(1-x)}\text{In}_x\text{P}$ 即为 GaP; 当 x 逐步增加到 1 时, $\text{Ga}_{(1-x)}\text{In}_x\text{P}$ 即为 InP。而后在 $\text{Ga}_{(1-x)}\text{In}_x\text{P}$ 上再以汽相外延生长 $\text{Ga}_{0.47}\text{In}_{0.53}\text{As}$ 。

由于 GaP 与 $\text{Ga}_{0.47}\text{In}_{0.53}\text{As}$ 的晶格常数差异较大,故在 GaP 与 $\text{Ga}_{0.47}\text{In}_{0.53}\text{As}$ 之间加 $\text{Ga}_{(1-x)}\text{In}_x\text{P}$ 缓变层。缓变层的晶格常数从 GaP 的晶格常数 (5.4511 Å) 逐步增加到 InP

* 1982 年 3 月 5 日收到。

的晶格常数 (5.8687\AA)。而 InP 的晶格常数与 $\text{Ga}_{0.47}\text{In}_{0.53}\text{As}$ 的晶格常数 (5.8679\AA)^{*} 则很接近。

对透射式 GaP, 其短波起始波长约从 $0.55\mu\text{m}$ 开始, 由于 $\text{Ga}_{(1-x)}\text{In}_x\text{P}$ 缓变层对短波波长的吸收, 所以透射式 $\text{GaP}/\text{Ga}_{(1-x)}\text{In}_x\text{P}$ 的短波起始波长约从 $0.7\mu\text{m}$ 开始。因此, 透射式 $\text{GaP}/\text{Ga}_{(1-x)}\text{In}_x\text{P}/\text{Ga}_{0.47}\text{In}_{0.53}\text{As}$ 光阴极的光谱响应范围为 $0.7\text{--}1.65\mu\text{m}$ 。

2. 夜天空(满月与星空)辐射下, $\text{GaP}/\text{Ga}_{(1-x)}\text{In}_x\text{P}/\text{Ga}_{0.47}\text{In}_{0.53}\text{As}$ (光谱响应范围为 $0.7\text{--}1.65\mu\text{m}$) 与 GaAs (光谱响应范围为 $0.4\text{--}0.9\mu\text{m}$) 两种光阴极光电发射性能的比较。

图 1 给出夜天空(满月与星空)的辐射强度随波长的分布曲线^[1]。为了计算 $\text{GaP}/\text{Ga}_{(1-x)}\text{In}_x\text{P}/\text{Ga}_{0.47}\text{In}_{0.53}\text{As}$ ($0.7\text{--}1.65\mu\text{m}$) 与 GaAs ($0.4\text{--}0.9\mu\text{m}$) 的光电发射并作比较, 须将图 1 中夜天空辐射强度的单位 [$\text{W}/(\text{cm}^2 \cdot \text{sr} \cdot \mu\text{m})$] 换算成 [$(\text{Photons}/\text{s})/(\text{cm}^2 \cdot \text{sr} \cdot \mu\text{m})$]。换算的结果如表 1 所列。

按文献报道, 透射式 GaAs 光阴极的量子效率 (electrons/photon) 约为 10% ^[3]; 反射式 InP/Ga_{0.47}In_{0.53}As 光阴极的量子效率为 8% ^[4]。本文计算时暂取透射式 $\text{GaP}/\text{Ga}_{(1-x)}\text{In}_x\text{P}/\text{Ga}_{0.47}\text{In}_{0.53}\text{As}$ 光阴极的量子效率为 3% 。III-V 族化合物光阴极的量子效率在光谱响应范围内基本上是一样的。

设 $(\text{MRI})_\lambda$ 表示在波长为 λ 时的满月辐射强度, 其单位为 [$(\text{Photons}/\text{s})/(\text{cm}^2 \cdot \text{sr} \cdot \mu\text{m})$]

表 1 不同波长的夜天空(满月与星空)的辐射强度 [$(\text{Photons}/\text{s})/(\text{cm}^2 \cdot \text{sr} \cdot \mu\text{m})$]

Tab. 1 Night sky (full moon and clear star) radiance at different wavelengths

$\lambda(\mu\text{m})$	0.4	0.5	0.6	0.7	0.8	0.9
$(\text{MRI})_\lambda$ 满月	6×10^{10}	1.5×10^{11}	1.74×10^{11}	1.47×10^{11}	1.5×10^{11}	1.35×10^{11}
$(\text{SRI})_\lambda$ 星空	4×10^8	1×10^9	3×10^9	5.25×10^9	7×10^9	1.35×10^{10}
$\lambda(\mu\text{m})$	1.0	1.1	1.2	1.3	1.4*	1.5
$(\text{MRI})_\lambda$ 满月	9×10^{10}	8.3×10^{10}	9×10^{10}	1×10^{11}	—	9.24×10^{10}
$(\text{SRI})_\lambda$ 星空	2×10^{10}	3.3×10^{10}	4.8×10^{10}	5.3×10^{10}	—	6.2×10^{10}
$\lambda(\mu\text{m})$	1.6					

* 在 $1.4\mu\text{m}$ 附近大气有强烈的吸收, 故未计算。

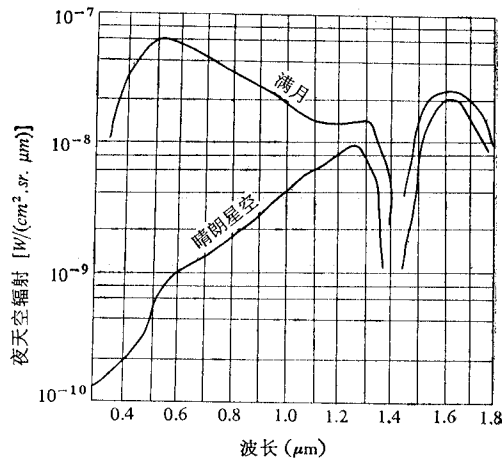


图 1 夜天空(满月与星空)辐射强度分布^[1]

Fig. 1 Night sky (full moon and clear star) radiance

* 根据 $\text{Ga}_{0.47}\text{In}_{0.53}\text{As}$ 中的成份计算的结果

$\mu\text{m})$], 此即表 1 中的第 2 行; $(\text{SRI})_{\lambda}$ 表示在波长为 λ 时的星空辐射强度, 其单位为 $[(\text{Photons}/\text{s})/(\text{cm}^2 \cdot \text{sr} \cdot \mu\text{m})]$, 此即表 1 中的第 3 行; $(\text{QE})_{\lambda}$ 表示在波长为 λ 时, 透射式 GaAs (光谱响应范围为 0.4 — $0.9 \mu\text{m}$) 与透射式 $\text{GaP}/\text{Ga}_{(1-x)}\text{In}_x\text{P}/\text{Ga}_{0.47}\text{In}_{0.53}\text{As}$ (光谱响应范围为 0.7 — $1.65 \mu\text{m}$) 的量子效率, 其单位为 (electrons/photon).

$(\text{MRI})_{\lambda}(\text{QE})_{\lambda}$ 与 $(\text{SRI})_{\lambda}(\text{QE})_{\lambda}$ 分别为满月与星空辐射强度下, 透射式 GaAs 与透射式 $\text{GaP}/\text{Ga}_{(1-x)}\text{In}_x\text{P}/\text{Ga}_{0.47}\text{In}_{0.53}\text{As}$ 在波长为 λ 的光电发射, 其单位为 $[\text{electrons}/\text{s}/(\text{cm}^2 \cdot \text{sr} \cdot \mu\text{m})]$, 计算结果分别列于表 2 与表 3.

表 2 透射式 GaAs (0.4 — $0.9 \mu\text{m}$) 在满月与星空辐射强度下, 不同波长的光电发射,
其单位为 $[\text{electrons}/\text{s}/(\text{cm}^2 \cdot \text{sr} \cdot \mu\text{m})]$

Tab. 2 Photoemission of GaAs (0.4 — $0.9 \mu\text{m}$) under night sky
(full moon and clear star) irradiation at different wavelengths

$\lambda(\mu\text{m})$	0.4	0.5	0.6	0.7	0.8	0.9
$(\text{MRI})_{\lambda}(\text{QE})_{\lambda}$	6×10^9	1.5×10^{10}	1.74×10^{10}	1.47×10^{10}	1.5×10^{10}	1.35×10^{10}
$(\text{SRI})_{\lambda}(\text{QE})_{\lambda}$	4×10^7	1×10^8	3×10^8	5.25×10^8	7×10^8	1.35×10^9

表 3 透射式 $\text{GaP}/\text{Ga}_{(1-x)}\text{In}_x\text{P}/\text{Ga}_{0.47}\text{In}_{0.53}\text{As}$ 在满月与星空辐射强度下, 不同波长的光电发射,
其单位为 $[\text{Photons}/\text{s}/(\text{cm}^2 \cdot \text{sr} \cdot \mu\text{m})]$

Tab. 3 Photoemission of $\text{GaP}/\text{Ga}_{(1-x)}\text{In}_x\text{P}/\text{Ga}_{0.47}\text{In}_{0.53}\text{As}$ (0.7 — $1.65 \mu\text{m}$) under
night sky (full moon and clear star) irradiation at different wavelengths

$\lambda(\mu\text{m})$	0.7	0.8	0.9	1.0	1.1	1.2	1.3	1.4*	1.5	1.6
$(\text{MRI})_{\lambda}(\text{QE})_{\lambda}$	4.4×10^9	4.5×10^9	4×10^9	2.7×10^9	2.5×10^9	2.7×10^9	3×10^9	—	2.8×10^9	5×10^9
$(\text{SRI})_{\lambda}(\text{QE})_{\lambda}$	1.6×10^8	2.1×10^8	4×10^8	6×10^8	1×10^9	1.4×10^9	1.6×10^9	—	1.9×10^9	4.8×10^9

* 在 $1.4 \mu\text{m}$ 附近大气有强烈的吸收, 故未计算。

将表 2 与表 3 的结果绘成曲线即如图 2 所示. 从图 2 可以得到如下的结果:

(1) 在星空辐射下:

$$\frac{\text{GaP}/\text{Ga}_{(1-x)}\text{In}_x\text{P}/\text{Ga}_{0.47}\text{In}_{0.53}\text{As} \text{ 的光电发射 } (0.7 \text{—} 1.65 \mu\text{m})}{\text{GaAs 的光电发射 } (0.4 \text{—} 0.9 \mu\text{m})} = 3.4 \text{ 倍}$$

这是在星空辐射下, 近红外辐射占优势的结果.

(2) 在满月辐射下:

$$\frac{\text{GaAs 的光电发射 } (0.4 \text{—} 0.9 \mu\text{m})}{\text{GaP}/\text{Ga}_{(1-x)}\text{In}_x\text{P}/\text{Ga}_{0.47}\text{In}_{0.53}\text{As 的光电发射 } (0.7 \text{—} 1.65 \mu\text{m})} = 4.8 \text{ 倍}$$

这是在满月辐射下, 可见光辐射占优势的结果.

为了实现上述设计, 需采用相应的工艺, 例如 10^{-10} 托的超高真空, 原子清洁度表面的获得, 辅助场负电子亲和势光阴极的工艺以及使该阴极冷却至 200K ^[5] 的工艺等. 这些暂不属本文范围, 故从略.

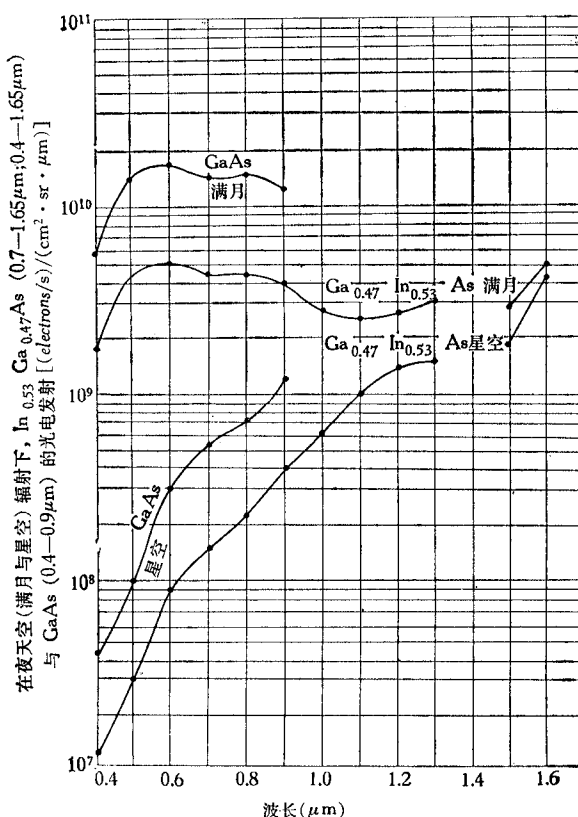


图 2 在夜天空 (满月与星空) 辐射下, $\text{GaP}/\text{Ga}_{(1-x)}\text{In}_x\text{P}/\text{Ga}_{0.47}\text{In}_{0.53}\text{As}(0.7\text{--}1.65\mu\text{m})$ 与 $\text{GaAs}(0.4\text{--}0.9\mu\text{m})$ 的光
电发射 [$\text{electrons/s}/(\text{cm}^2 \cdot \text{s} \cdot \text{sr} \cdot \mu\text{m})$]

Fig. 2 Photoemission of $\text{GaP}/\text{Ga}_{(1-x)}\text{In}_x\text{P}/\text{Ga}_{0.47}\text{In}_{0.53}\text{As}$
($0.7\text{--}1.65\mu\text{m}$) and $\text{GaAs}(0.4\text{--}0.9\mu\text{m})$ under night sky
(full moon and clear star) irradiation

参 考 文 献

- [1] F. A. Richards, Advances in Electronics and Electron Physics, Vol. 28B, (1969), p. 661.
- [2] J. S. Escher, *J. Appl. Phys.*, 49(1978), 259.
- [3] P. Csorba, *Appl. Opt.*, 13(1979), 2440.
- [4] J. S. Escher, et al., *IEEE Trans. on ED*, ED-25(1978), 1347.
- [5] J. S. Escher, et al., *IEEE on ED Lett.*, EDL-2(1982), 123.

A NEAR IR PHOTOCATHODE WITH $0.7\text{--}1.65\mu\text{m}$ PHOTORESPONSE

Tao Zhaomin

(Institute of Electronics, Academia Sinica)

A near IR $\text{GaP}/\text{Ga}_{(1-x)}\text{In}_x\text{P}/\text{Ga}_{0.47}\text{In}_{0.53}\text{As}$ ($x: 0\rightarrow 1$) photocathode with $0.7\text{--}1.65\mu\text{m}$ photoresponse is proposed and designed. The photoemission of the $\text{GaP}/\text{Ga}_{(1-x)}\text{In}_x\text{P}/\text{Ga}_{0.47}\text{In}_{0.53}\text{As}$ is calculated and compared with the photoemission of the GaAs photocathode ($0.4\text{--}0.9\mu\text{m}$) under night sky (full moon and clear star) irradiation.